

論 文

水門을 통한 흐름의 流量係數 分析

Discharge Coefficient of flow through Gate piers

金 采 淳* 南 宣 祐**
Kim, Chae Soo Nahm, Sun Woo

Abstract

This study was aimed to determine a discharge coefficient of flow through gate piers. The coefficient was Calibrated with water stage data observed during 1984 to 1987 at the Young San Estuary Dam.

The coefficient is the function of the dimensionless parameters combined with the difference between up and down stream water level to down stream water depth ratio and water surface draw down ratio.

From the verification with existing methods and actual drainages, drainages predicted by the relationship have the most consistency with the actual drainages, also Matthai's method can be used within the proposed condition originally.

要 旨

本研究는 河口湖의 排水門을 通한 排水量 推定公式中 潛流의 경우 유량계수를 1984~1987年 榮山湖의 排水門에서 관측된 자료를 이용하여 분석하였다.

분석결과 유량계수는 無次元 變數 水位差-水深比 및 水面降下度와의 복합함수관계를 가지고 있었다.

기존 방법과 본 방법을 이용 배수량을 추정 비교 검증한 결과 본 방법이 실배수량과 일치하였고 기존 방법중 적용가능한 방법을 도출하였다.

*東國大學校 大學院 土木工學科(農業振興公社)

**東國大學校 大學院 土木工學科 教授

1. 序 論

河口湖에서 内水位조절이 아주 중요하므로 배수문을 설치 조절하고 있으며 이 때 그 규모 결정에 있어서 여러가지 요인들을 감안하지만 水理的 측면에서 배수량 추정공식 및 그 유량계수가 중요하다.

한편 유량계수를 실측키 어려우므로 모형실험의 결과를 이용하고 있으나 실제 배수문에서 관측된 자료를 이용하여 유량계수를 분석하고 이의 적용성을 기존 방법들과 함께 비교 검증하여 적절한 배수량 추정방법을 도출코자 한다.

2. 理論的 考察

水門을 통한 흐름을 Fig 1과 같이 나타낼 때
底面이 완경사인 경우 일어날 수 있는 水面形은
3가지로 나타낼 수 있다.

- (1) $H_1 > H_3 > H_2 = H_c$
 - (2) $H_1 > H_c > H_2, H_1 > H_3 > H_2$
 - (3) $H_1 > H_3 > H_2 > H_c$

여기서 H_c 는 한계수심이다.

排水門에서 潛流는 (3)의 경우이고 本間³⁾ 桑野⁴⁾ 등은 上下流의 水深比로서 불완전 월류 및 潜流의 경계값을 나타내고도 있다.

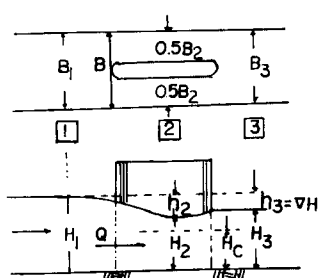


Fig. 1 Definition sketch

Fig 1에서 단면1과 2와 대해서 式(1)과 같은
관계가 성립된다. ⁶⁾⁽⁸⁾⁽⁹⁾⁽¹⁴⁾⁽¹⁶⁾

$$H_1 + \alpha_1 \frac{V_1^2}{2g} = H_2 + \alpha_2 \frac{V_2^2}{2g} + h_f \dots \dots \dots \quad (1)$$

여기서

$$H_1 = H_2 + h_a$$

B_2 =교각을 제외한 실제 통수단면 폭

α_1, α_2 : 에너지보정계수 (≈ 1)

$$V_2 : Q/(K_A B_2 \cdot H_2)$$

K_A : 단면축소율, Pier의 형태 水流方向 등에 따른 補正係數

h_i=마찰손실

마찰손실에 대해서 涡損失(eddy loss)과 저면
마찰로 구분된다. Chow⁶⁾는 水路가 一様하지 않
은 경우(non prismatic channel) eddy loss가 현
저하지만 이의 합리적 추정방법이 없으므로 주로
속도수두의 변화($K \Delta \frac{a^V^2}{2g}$)로서 나타내며 계수K
를 수로의 단면변화 즉 漸縮인 경우 $K=0\sim0.1$
漸擴 : $K=0.2$ 規則的인 경우 $K=0$ 로 하고 있
다. 또한 실용상 계산의 편의를 위해 eddy loss
를 마찰손실의 一部分으로 간주하여 계산할 수
있다고 하였다. 그러므로 본 경우에도 계산의 편
의를 위해 eddy turbulence에 의한 손실이 마찰
손실(hf)에 포함된 것으로 간주하고 式(1)을 V_2 에
대해 전개하여 정리하면 式(2)와 같다.

$$Q = K_A B_2 H_2 \sqrt{2g \left\{ (H_1 - H_2) + \frac{V_1^2}{2g} - h_f \right\}} \quad \dots \dots \quad (2)$$

이 때 단면(2)에서 수위 H_2 가 단면(3)에서의 수위 H_3 와 같다면(그러나 실제로는 H_2 와 H_3 가 일치하는 것은 아니다) $(H_1 \cdot H_2) = h_2 = h_3 = \Delta H$ 이며 式(3)과 같게 되다.

$$Q = K_A \cdot B_2 \cdot H_3 \sqrt{2g(\Delta H + \frac{V_1^2}{2g} - h_f)} \quad \dots \dots \dots (3)$$

H_1 은 단면 (2)로 부터 $1B^6$ 또는 $2B^8$ 상류지점의 수심이며. V_1 은 그 때의 유속, h_1 는 $1B$ 또는 $2B$ 구간의 마찰손실, B 는 유입부의 양안 교대 간의 거리이며 교각을 포함한다.

式(3)에서 Nagler¹⁴⁾, d'Aubuisson,⁶⁾ 桑野⁴⁾, Kindsvater^{9),10)} Matthai⁸⁾ 等은 補正계수(K_A), 단면 폭(B_1, B_2), 水深(H_2, H_3) $\Delta H = (H_1 - H_3)$, $\frac{V_1^2}{2g}$, h_1 중

다. 排水門의 開門은 흐름에 의해서 門扉에 동요가 일어나지 않도록 內水位이 상으로 인양하고 內水의 신속한 배제를 위해 8門全量을 開門하였다.

4. 通水断面

通水断面 幅(B_2) : 240m

교대간 幅(B) : 283.4 m

교각간 幅 : 30m

門扉 幅×高×連=30.0m×13.6m×8連

pier 두께 : 4.6m 閘室 : 11.2m*

pier先後端：準流線型(semi circular nose) $r=4.6$

4. 分析与考察

1. 流量係數의 分析

排水門을 통한 흐름에서 그 斷面을 통과한 때
의 유량계수는 다음과 같은 절차로 분석하였다.

(1) 流入量의 결정

內水位 기록으로부터 t , $t-1$ 시의 水位를 구하고 이 때 수위에 대한 내용적은 水位-內容積관계로부터 구하여 각각 式(8)에 대입하여 t , $t-1$ 시의 유입량을 결정하고 시간별 유입량곡선을 fig3과 같이 작성하였다. 그러나 排水中의 유입량은 式(8)에 의해 구할 수 없으므로 排水中은 Fig(3)에서 3가지 경우 (a) BC구간 (b) DE구간 (C)FG구간으로 구분하여 다음과 같이 구하였다.

Fig(3)에서 AB, CD, EF, GH, 구간은 排水를 하지 않은 구간이며 시간별 분포를 직접구한 값이므로 同구간은 시간별 분포를 서로 연결한다. 다음으로 (a)구간에 대해서는 AB, CD구간을

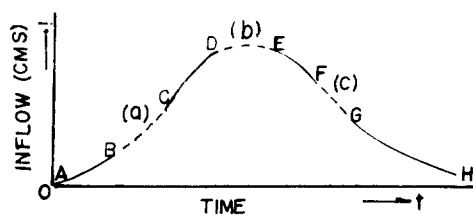


Fig 3 Inflow distribution Curve

상호연계시켜 원활한 곡선으로 연결하여 BC구간의 곡선을 정하고 이로부터 시간별유입량을 구하였다. (c)구간에 대해서도 (a)와 동일한 방법으로 시간별 유입량을 구하였다. 그러나 (b)의 경우는 배수前인 CD구간은 유입량이 상승하지만 배수後인 EF구간은 감소하는 분포이므로 DE구간에서 첨두유입량이 발생하므로 (a), (b)경우와 같은 방법으로 유입량분포를 구할 수 없어 분석에서 제외하였다. 또한 排水中 첨두유량 발생가능 여부의 판단에 최인접 수위관측소(영산포)의 수위기록을 참고하였다.

(2) 排水量의 決定

排水量은 排水中의 저류량의 변화량($\frac{\Delta s}{\Delta t}$)과 앞에서 구한 시간별 유입량을 式(5)에 대입하여 實排水量을 決定하였다. 開文途中 및 閉門途中은 오리피스흐름이므로 開閉途中은 異외하였다.

(3) 流量係數의 分析

앞에서求한時間別實排水量(Q) 및 그 때의 경계조건 下流部水深(H_3), 上下流水位差(ΔH), 通水斷面積(B_3)을 式(9)에 代入하여 각각의 경우에 對한 유량계수(c)를 分析하였다.

유량계수에 영향을 미치는 인자에 대해서 d'Aubuisson, Nagler 등은 구조물의 기하학적 형상을 고려한 유량계수를 도입하고, Kindsvater⁹⁾ 10) Matthai⁸⁾ 등은 水深에 관한因子는 Froude number에 따른 보정항과 구조물의 제반 기하학적 형상을 고려한 보정항등의 곱으로 나타내고 있다. 또한 潛水率(H_3/H_1)과의 상관관계로도 나타낸 연구결과^{11), 15)} 도 있다.

그러므로 分析된 유량계수를 Froude數와 多重화귀분석에 의해서 상관시킬 때 Fig 4와 같은 양호한 상관관계가 있었다. Froude Number는 式 10, 11과 같이 변형시킬 수 있다.

$$Fr = \sqrt{2} C \sqrt{\frac{\Delta H}{H_3}} = \sqrt{2} C \sqrt{\frac{H_1 - H_3}{H_3}} = f\left(\frac{H_3}{H_1}\right) \dots \dots (11)$$

따라서 유량계수를 $\Delta H/H_3$ 및 H_3/H_1 과 각각

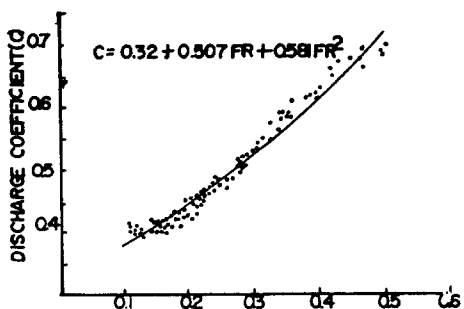


Fig 4 Discharge coefficient vursus froude number

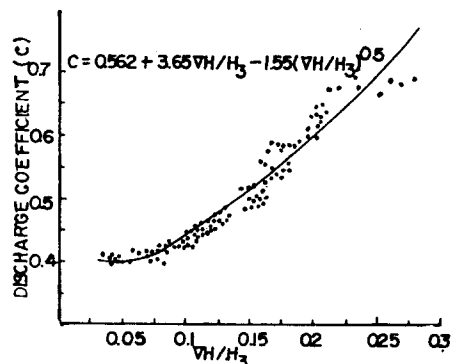
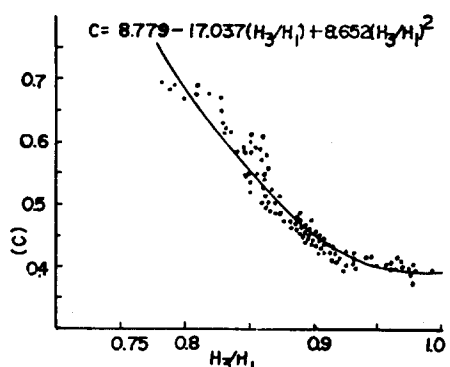
Fig 5 Discharge coefficient vursus $\Delta h/h_3$ 

Fig 6 Discharge coefficient vursus submergence ratio

다중회귀분석에 의해서 상관시키고 圖式으로 나타내면 각각 Fig 5, 6과 같다.

排水門에서 排水호름의 영향을 받는 거리는 1B 또는 2B 상류지점이라고 하므로 이러한 요인을 감안할 수 있는因子 즉 水面降下度를導入할 수 있다. 水面降下度는 上下流의 水位差를 ΔH 라 하고 단면1까지의 거리를 1B로 하면 $\Delta H/B$ 로 정의할 수 있다.

水面降下度와 유량계수에 대해서 다중회귀분석에 의해서 상관시켜 도식으로 나타내면 Fig 7과 같다.

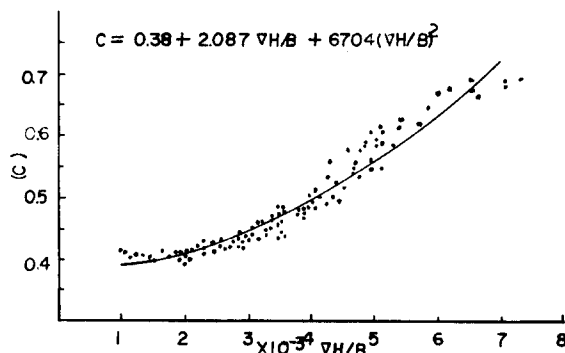


Fig 7 Discharge coefficient vursus water surface draw down ration

2. 流量係數-水深, 水面降下度의 고찰

Fig 4~7까지의 유량계수와 각 변수간의 상관관계식을 정리하면 Table 1과 같다.

Table 1 discfcharge Coefficient Equations analyzed by multiple regression analysis

Variable	data	equation	Correlation Coefficient(r)
$X_1 = \frac{V_2}{\sqrt{gH_3}}$	129	$C_1 = 0.320 + 0.507X_1 + 0.581X_1^2$	0.983
$X_2 = \frac{\Delta H}{H_3}$	129	$C_2 = 0.562 + 3.65X_2 - 1.55\sqrt{X_2}$	0.960
$X_3 = \frac{H_3}{H_1}$	129	$C_3 = 8.779 - 17.037X_3 + 8.652X_3^2$	0.920
$X_4 = \frac{\Delta H}{B}$	129	$C_4 = 0.38 + 2.087X_4 + 6704X_4^2$	0.964
X_2, X_4	129	$C_5 = \sqrt{C_2, C_4}$	0.964

Table 1에서 變數 X_2 , X_3 는 Froude number X_f 에서 변형된 형태이며 각각 유량계수와 상관관계가 아주 양호하다. 그러나 $C_1 \sim C_4$ 까지의 각 식을 이용해서 유량계수를 추정할 때 變數가 無次元의比如로 나타내져 있으므로 비가 동일한 때는(예로 C_2 에서 $\frac{0.9}{8.1}$, $\frac{0.8}{7.2}$, $\frac{0.7}{6.3}$ 의 경우) 유량계수가 동일한 값을 나타내고 있다. 그러므로 變數를 水深의 比인 X_2 , X_3 와 水面降下度의 比인 X_4 와의 2개群으로 分類하고 이를 유량계수와 조합시켜 상관관계를 분석한 결과 X_2 와 X_4 를 조합시킬 때가 양호하였으며 式(12)와 같다.

$$C_5 = \sqrt{C_2 \cdot C_4} = [(0.562 + 3.65 \frac{\Delta H}{H_3} - 1.55 \frac{\Delta H}{H_3}) \times (0.38 + 2.087(\frac{\Delta H}{B}) + 6704(\frac{\Delta H}{H_3})^2)]^{1/2} \quad (12)$$

(Correlation coefficient $r=0.964$)

式(12)로 추정할 때는 Table-1의 C_2 즉 수위차(ΔH)와 水深과의 관계 및 C_4 의 水面降下度가 동시에 고려되므로 排水門의 水位變化조건을 감안한 추정이 이루어진다. 그러나 C_2 , C_3 의 경우는 水深比의 관계로만 추정되며 C_4 의 경우는 水面降下관계로만 추정되므로 종합적인 설명을 할 수 없다. 또한 C_1 은 Froude수의 관계이므로 직접 이용하여 추정되지 않는다. (V_i 에 유량계수가 포함되었음)

3. 他研究結果와의 比較 및 검증

排水門을 通한 排水量의 推定에 주로 이용되는 경험식은 Table2와 같다.

여기서

$$C = \sqrt{C_2 C_4}$$

C_2 : 水位差/下流水深比에 의한 보정계수

(Table 1)

C_4 : 水面降下度에 의한 보정계수(Table 1)

Table의 式中 V_i 은 排水門으로부터 상류로 1B 또는 2B에 위치하는 곳의 접근유속이며 湖의 경우 V_i^2 의 값은 무시할 정도로 적으므로 桑野, Nagler, d'Aubuisson의 式中 差異는 주로 流量係數임을 알 수 있다.

Chow⁶⁾는 상류(Subcritical)인 때 Nagler의 式이 더 적합하다고 하였으므로 3式中 Nagler의 式을 택하고 또한 여러가지 보정항을 내포하고 있는 Matthai의 방법과 금회 분석된 式등 3가지 경우를 洪水流入量, 上下流의 수위변화 및 수위차들을 다양하게 나타내고 있는 자료에 적용하여 $\Delta t=15\sim24$ 분으로 배수량을 추정하고 Table3에 실배수량과 비교하였다.

Table3에서 Nagler, Matthai의 방법으로 추정한 값이 실제와 차이가 있는 것은 원래 실험시 현장에서와 같은 큰 값의 Reynolds number를 재현

Table 2 Discharge Coefficients for Submerged flow through gate piers.

Author	Formula	C	Method
桑野 ⁴⁾	$Q = CB_2 H_3 \sqrt{2g \Delta H}$	1.0~1.13	Hydraulic Model
Nagler ¹⁴⁾	$Q = CB_2 (H_3 - 0.3 \frac{V_i^2}{2g}) \sqrt{2g \Delta H + 1.8 V_i^2}$	0.86~1.11	Hydraulic Model
d'Aubuisson ⁶⁾	$Q = CB_2 H_3 \sqrt{2g \Delta H + V_i^2}$	0.96~1.31	Hydraulic Model
Matthai ⁸⁾	$Q = CBH_3 \sqrt{2g \Delta H + V_i^2 - h_i}$	Varied	Hydraulic Model
본연구	$Q = CB_2 H_3 \sqrt{2g \Delta H}$		Varied In situ

Table 3 Comparison of actual discharge drained and Predicted (unit: 10^4m^3)

discharge date	Actual			Predicted drainage						ΔH	Froude Number		
	Inflow A	drainage B	A/B	Nagler		Matthai		writer					
				P ₁	P ₁ /B	P ₂	P ₂ /B	P ₃	P ₃ /B				
84. 7. 14 18:25~21:24	1,650	5,220	0.32	6,000	1.15	5,650	1.08	5,080	0.97	0.50~1.55	0.28~0.31		
85. 6. 24 21:21~25:00	3,900	9,750	0.40	12,300	1.26	10,900	1.12	9,800	1.01	0.50~1.9	0.26~0.40		
86. 7. 16 12:00~15:10	500	2,750	0.18	3,460	1.26	3,070	1.14	2,700	0.98	0.5~0.9	0.23~0.28		
86. 7. 17 13:00~17:09	480	2,480	0.19	3,110	1.25	2,850	1.15	2,450	0.99	0.5~0.9	0.23~0.26		
87. 7. 14 22:21~24:21	310	2,480	0.13	3,100	1.25	2,670	1.16	2,510	1.01	0.5~1.0	0.23~0.27		
87. 7. 16 23:48~2:30	1,050	5,230	0.20	6,190	1.18	6,060	1.15	5,120	0.98	0.4~1.6	0.22~0.36		
87. 7. 26 19:24~22:56	1,750	5,850	0.30	6,920	1.18	6,560	1.12	5,560	0.95	0.45~1.5	0.25~0.34		

시킬 수 없기 때문이며⁵⁾¹¹⁾¹³⁾ 각각의 경우를 고찰할 때 Nagler의 경우는 실 배수량보다 상당히 과다 추정되고 있으며 3가지 방법 중 차이가 가장 크다.

Matthai방법은 Froude 수가 큰 경우는 적은 경우보다 실 배수량에 근접하였다. 이는 원래 적용 범위가 Froude 수 0.2~0.7인데 본 경우 하한계 부근의 값들이 추정되어 일어난 현상으로 생각되며 배수량 추정에 이용할 수 있는 것으로 사료되지만 적용 시는 유효 범위를 고려하여야 할 것이다.

금회 결과를 검증한 경우는 거의 실 배수량과 일치하였으므로 적합한 방법이라 사료된다. 또한 본 분석은 Matthai의 방법의 적용 범위 밖인 Froude 수 0.1~0.2의 결과도 분석되었으므로 (Fig. 4) 기존 방법과 병행해서 이용하면 유량계수를 더 적절히 추정할 수 있는 것으로 사료된다.

한편 Matthai⁸⁾ 등은 모든 조건에 일반적으로 적용되는 방법은 없으므로 각 조건에 적합하도록 적절한 工學的 判斷을 하여 적용할 것을 제안하고 있다.

本方法의 분석 범위는

$$\text{水面降下度} (\Delta H/B) = 1 \sim 8 \times 10^{-3}$$

$$\text{潛水率 } H_3/H_1 = 0.8 \sim 1.0$$

이며 潜流의 경계를 나타내는 潜水率에 대해서研究者에 따라 각각 상이한 값을 제시하고 있지만 본 경우와 유사한 경계 값을 제시한 연구 결과는 桑野⁴⁾의 0.81~0.82가 있으며 본 연구에서는 0.80¹⁾ 하의 경우는 他方法을 적용하여야 할 것으로 고려된다.

5. 結論

本分析은 배수문을 통한 배수량 추정 공식의 유량계수를 실제 배수문에서 관측된 자료를 이용하여 분석한 것으로 그 결과는 다음과 같다.

- 流量係數(C)는 上下流의 수위차 - 下流水深比($\Delta H/H_3$) 및 水面降下度(水位差 / 水面降下長 = $\Delta H/B$) 와의 복합함수 관계로서 나타낼 수 있다.

- 기존 방법 중 Matthai 방법으로 추정한 배수량이 실 배수량에 가장 근접하였고 Nagler의 방법으로 추정한 배수량은 차이가 컸다.

- 본 결과는 기존 방법의 적용 범위 (특히 Matthai의 방법 Froude number $Fr=0.2 \sim 0.7$) 밖의 범위 ($Fr=0.1 \sim 0.2$) 분석되었으므로 기존 방법과 병행해서 이용할 경우 유량계수를 더 적절히 추정할 수 있을 것으로 사료된다.

References

1. 권순국, 나정우 “排水閘門의 流量係數決定에 관한 연구”한국농공학회지 제28권 1호 p51-59 1986.
2. 농수산부-농업진흥공사“영산강 개발 Ⅱ단계 농업 종합개발사업 河口둑 工事誌 p828, 1984
3. 本間 仁 “應用水理學 中 I”日本丸善 p150-172. 1958
4. 桑野定美 “干拓地 排水閘門の 水理學的研究(V III) 農業土木研究 제27권 제1호 p7~11
5. BLaisdell, F.W.“Comparison of sluice gate Discharge in Model and Prototype” *Transaction of ASCE* vol 102 p544-560. 1937
6. Chow, V.T “Open Channel Hydraulics” McGraw Hill, New York p372-503. 1959.
7. Doeringsfeld, H.A. etal “Pressure,,Momentum Theory applied to the broad Crested Weir” *Transaction of A.S.C.E.* Vol 106 p934-969 1941
8. French, R.H, “Open channel Hydraulics” McGraw-hill” Newyork, p393-459 1985
9. Kindsvater, C.E. etal “Tranquill flow through Open channel Constrictions” *Transaction of ASCE* vol120 p955-922. 1955
10. Kindsvater C.E etal “Computation of Peak Discharge at contraction” *Geological survey circular* 284 U.S Department of Interior, 1953
11. Klatter, H.E., etal “Modelling Hydraulic structures in numerical and scale Models”Topics in Hydraulic Modelling, *Proceedings of XXII Congress, International Association for Hydraulic Research(IAHR)*p307~312 1987.
12. Laine de, R.J., “Calibration of weirs using the rate of pondage drawdown” *Journal of Hydrology* vol Ⅱ No. p130-140, 1964
13. Laursen, E.M., “Bridge Backwater in Wide Valleys” *Journal of Hydraulic Division*, vol 96NOHY4 p1019-1038, 1970
14. Nagler,Jr, F.A., “Obstruction of Bridge Piers to the flow of water” *Transaction of ASCE* vol 82 p334-395 1918
15. Skogerboe, G.v,etal “Analysis of Submergence in flow measuring Flumes” *J.of Hydraulic Div*, ASCE vol Hy p183-200 1967.
16. Tracy, H.J., etal “Back water Effects of open channel constriction” *Transaction of ASCE*, vol 120, p993-1018 1955.
17. Woodburn.J.G. “Tests of broad crested weirs” *Transaction of ASCE* vol 96. p387-453 1932
18. Wilkinson, J.H. “Translatory waves in Natural Channels” *Transaction of ASCE* No110 p1203 1945.